

ارائه‌ی یک حل دقیق تحلیلی برای ارتعاشات صفحات مستطیلی نانو براساس نظریه‌ی مرتبه‌ی اول برشی ورق‌ها در فضای غیر محلی کشسان

مجتبی زارع (دانشجوی کارشناسی ارشد)

شهرخ حسینی هاشمی (استاد)

رضا ناظم‌نژاد* (دانشجوی دکتری)

دانشکده‌ی مهندسی مکانیک، دانشگاه علم و صنعت ایران

مفننتی مکانیک شریف، (پیاپی ۱۳۹۴)، شماره ۱، ص ۱۰۷-۱۱۲

در این نوشتار، ارتعاشات آزاد صفحات مستطیلی نانو براساس نظریه‌ی مرتبه‌ی اول برشی ورق‌ها (میندلین) در فضای نظریه‌ی کشسانی غیر محلی با استفاده از یک حل دقیق تحلیلی بررسی شده است. به‌منظور حل دقیق معادلات حرکت، ابتدا معادلات بی‌بعد شده و با استفاده از یکتابع کمکی از یکدیگر دیگر شده‌اند. نهایتاً، معادلات جدیدی برحسب یک سری توابع پتانسیل به دست می‌آید که به صورت دقیق و تحلیلی قابل حل‌اند و به این ترتیب پاسخ ارتعاشات آزاد و فرکانس‌های طبیعی برای مسئله به دست می‌آید. در حل معادلات فوق، از شرایط مرزی لوی استفاده شده است. به‌منظور تأیید صحت روش حل حاضر، نتایج به دست آمده با دیگر روش‌های عددی و تقریبی مقایسه شده است. به‌منظور ارائه‌ی نتایج بیشتر، اثرات مودهای مختلف فرکانسی و پارامترهای مختلف نانو ورق — شامل نسبت طول به عرض و نسبت ضخامت به طول — بر فرکانس طبیعی نانو ورق بررسی شده است.

mzare@mecheng.iust.ac.ir
shh@iust.ac.ir
rnazemnezhad@iust.ac.ir

وازگان کلیدی: حل دقیق و تحلیلی، ارتعاشات آزاد، نظریه‌ی کشسانی غیر محلی، نانو ورق میندلین.

۱. مقدمه

یا ترکیبی است. یکی از این زمینه‌ها استفاده از نانو ورق‌های است که با گسترش روزافزون علم، نیاز به استفاده از آنها بیشتر می‌شود. صفحه‌های گرافینی و گرافیتی^۱ از متداول‌ترین گونه‌ی ورق‌های نانو هستند که به‌دلیل رسانایی بالا در خازن‌ها و برخورداری از سویچ‌های قطع و وصل جریان کاربرد دارند. همچنین به‌دلیل تحریک در مودهای بالای فرکانسی، از آنها در ابرشیدکننده‌ها^۲ و ابرفشارسنج‌ها^۳ استفاده می‌شود. بنابراین با کاربرد نانو ورق‌ها در این وسیله‌ها و وسایلی نظریه‌سیستم‌های الکترومکانیکی میکرو و نانو (MEMs/NEMs) و تعدادی از اجزای مکانیکی — مانند ساختارهای نانوشکل معلق،^[۱] تشیدکننده‌های راکتی،^[۲] تشیدکننده‌های ورقی نانو^[۳] و عناصر غشاء نازک^[۴] — مدل‌سازی چنین سیستم‌هایی باید با ساختارهای صفحه‌مانند دو بعدی مدل‌سازی شوند. بنابراین نیازمند مطالعه‌ی رفتار ارتعاشاتی نانو ورق‌ها هستیم که برخلاف ورق‌های معمولی، نگاه دقیق‌تر به زیرساختارهای ماده را می‌طلبید. نظریه‌های ارائه‌شده‌ی ورق تاکنون بدون در نظر گرفتن ساختار ورق در ابعاد میکروسکوپی مورد استفاده قرار می‌گیرند. بنابراین برای استفاده از این نظریه‌ها در ابعاد مولکولی باید آنها را اصلاح کرد. گیبسون^۵ با مروری کوتاه بر اهمیت مدل‌سازی رفتار ارتعاشاتی ساختارهای مختلف نانو، پیشنهاد داد که با بهره‌گیری از نظریه‌ی غیر محلی کشسانی در مدل‌های محیط پیوسته، پیش‌بینی

از میان سازه‌های پرکاربرد مورد استفاده در صنعت می‌توان به ورق‌ها، که کاربرد گستره‌بی در شاخه‌های مختلف مهندسی از جمله مکانیک، نظمی، هوانوردی و دریانوردی دارند، اشاره کرد. مطالعه‌ی رفتار دینامیکی و ارتعاشات سازه‌های ساخته شده از ورق، به‌منظور کاربرد آنها در این صنایع و قطعات مربوطه یکی از مهم‌ترین زمینه‌های تحقیقاتی در مکانیک کاربردی است. قرن بیست و پنجم، قرن فناوری نانو، مهم‌ترین دوران صنعت به‌شمار می‌رود. از اهداف مهم فناوری نانو — و شاید مهم‌ترین آنها — ایجاد ساختارهایی از مواد است که در آنها آرایش مولکول‌ها از پیش طراحی شده باشد. نانوتکنولوژی انجام مهندسی مواد در ابعاد اتمی—مولکولی و ساخت موادی با خواص کاملاً متفاوت در ابعاد نانو است که با آرایش و دستکاری اتم‌ها می‌توان به این مهم دست یافت.

در نانومواد، سطح واحد جرم مواد گسترش قابل توجهی می‌باید که این ویژگی به بهبود استحکام، خواص الکتریکی و افزایش انعطاف‌پذیری مواد منجر می‌شود. بنابراین وجود چنین خصوصیاتی زمینه‌ساز استفاده از این مواد به صورت مجرزا

* نویسنده مسئول

تاریخ: دریافت ۱۶/۴/۱۳۹۲، اصلاحیه ۲۳/۶/۱۳۹۲، پذیرش ۲۴/۶/۱۳۹۲.

مختصات قطبی است. مقدار پارامتر غیرمحالی μ به شرایط تکیه‌گاهی، عدد مدد عدد دیواره‌ها و لایه‌ها، و نیز به ماهیت حرکت بستگی دارد. تاکنون در متابع محدودی مقدار دقیق این پارامتر برای سازه‌های مختلف تعیین شده است.^[۱۹-۲۰] متابع موجود در این زمینه، برای به دست آوردن این پارامتر پیشنهاد می‌کنند منحنی‌های انتشار^۷ مکانیک محیط پیوسته‌ی غیرمحالی و دینامیک شبکه^۸ برای ساختارهای کریستالی نانومواد با یکدیگر مقابله شوند.^[۲۱] در این تحقیق، مقدار این پارامتر در بازه‌ی 4nm^0 در نظر گرفته شده است.^[۱۹]

۳. معادلات ارتعاشاتی ورق میندلین در فضای غیرمحالی کشسانی

معادلات حاکم بر ارتعاشات آزاد نانورق ایزوتروپیک میندلین با استفاده از نظریه غیرمحالی کشسانی عبارت است از:^[۲۲]

$$\frac{\epsilon k^3 D}{h^3} (1 - \nu) (\varphi_{x,x} + w_{xx} + \varphi_{y,y} + w_{yy}) = [1 - \epsilon^2 \nabla^2] I_1 \ddot{w} \quad (5)$$

$$D(\varphi_{x,xx} + \nu \varphi_{y,xy}) + \frac{D}{\epsilon} (1 - \nu) (\varphi_{x,yy} + \varphi_{y,xy}) - \frac{\epsilon k^3 D}{h^3} (1 - \nu) (\varphi_x + w_x) = [1 - \epsilon^2 \nabla^2] I_2 \ddot{\varphi}_x \quad (6)$$

$$D(\varphi_{y,yy} + \nu \varphi_{x,xy}) + \frac{D}{\epsilon} (1 - \nu) (\varphi_{x,xy} + \varphi_{y,xx}) - \frac{\epsilon k^3 D}{h^3} (1 - \nu) (\varphi_y + w_y) = [1 - \epsilon^2 \nabla^2] I_2 \ddot{\varphi}_y \quad (7)$$

در این رابطه‌ها، x و y چرخش خمشی نرمال‌های عرضی حول محور x و y هستند و w جابه‌جایی عرضی ورق در راستای z و k^3 ضریب تصحیح برشی است که مقدار آن برابر $5/6$ در نظر گرفته شده است. همچنین $(1 - \nu^2) E h^3 / (12(1 - \nu))$ سختی خمشی نانورق، E مدول کشسانی، ν ضریب پواسون، h ضخامت نانورق و $I = \int_{-h/2}^{+h/2} \rho z^k dz$ ($z = 0, \pm h/2$) ممان اینرسی است.

۴. حل دقیق معادلات حرکت

برای عمومیت بخشنیدن به حل مسئله، ابتدا معادلات بی‌بعد می‌شوند. متغیرهای بی‌بعد چنین تعریف می‌شوند:

$$X = \frac{x}{a}, \quad Y = \frac{y}{a}, \quad \delta = \frac{h}{a}, \quad \eta = \frac{b}{a}, \quad \tilde{\varphi}_\alpha = \varphi_\alpha, \\ \tilde{w} = \frac{w}{a}, \quad \zeta = \frac{\epsilon}{a}, \quad \tilde{\nabla}^2 = a^2 \nabla^2, \quad \beta = \omega a^2 \sqrt{\frac{\rho h}{D}} \quad (8)$$

که در آن $x, y, \alpha = x, y, \delta, \eta, \beta$ به ترتیب طول، عرض و ضخامت ورق هستند. منظور از عملگر بعد لابلسی، عملگر تعریف شده براساس مختصات بی‌بعد است؛ یعنی: $\frac{\partial^2}{\partial X^2} + \frac{\partial^2}{\partial Y^2} = \nabla^2$. همچنین $\tilde{\varphi}_\alpha$ پارامتر بی‌بعد غیرمحالی و β پارامتر بی‌بعد فرکانسی است. فرض می‌شود متغیرهای جابه‌جایی به صورت هارمونیک با زمان تغییر می‌کنند:

$$\tilde{\varphi}_\alpha(x, y, t) = \tilde{\varphi}_\alpha(x, y) e^{i\omega t}, \\ \tilde{w}(x, y, t) = \tilde{w}(x, y) e^{i\omega t} \quad (9)$$

رفتار ارتعاشاتی دقیق تر خواهد بود.^[۵] این نظریه مربوط به فیزیک جسم مادی است و نشان می‌دهد که رفتار یک نقطه‌ی مادی متأثر از حالت تمام نقاط آن جسم است. درواقع براساس این نظریه، رابطه‌ی تنش در هر نقطه از سازه تابعی از کرنش در کل سازه است.

اما تمامی تحقیقاتی که در زمینه ارتعاشات و کمانش نانورق با صفحات گرافینی با استفاده از نظریه‌ی غیرمحالی انجام شده می‌باشد است بر حل‌های تقریبی، حل‌های عددی چون روش مربعات دیفرانسیلی (DQM)،^[۱۰] حل اجزاء محدود صفحات گرافین چندلایه^[۱۱] و حل تفاضل محدود تیر نانو روی بستر کشسان.^[۱۲] پتابرین لازم است نخست روشی برای حل دقیق معادلات حرکت نانورق یافته، و سپس دقت روش‌های عددی و تقریبی دیگر را در این زمینه بررسی کنیم. از این رو روش حلی دقیقی را که قابل ابداع شده^[۱۳-۱۴] برای حل این مسئله‌ی نوین انتخاب می‌کنیم. اما باید تأکید کرد که تاکنون از این روش فقط برای مسائل حوزه‌ی کشسانی کلاسیک استفاده شده و به دلیل استفاده از نظریه‌ی غیرمحالی و روش به حوزه‌ی نانو مرتبه‌ی دیفرانسیلی معادلات حرکت افزایش می‌یابد و درنتیجه روند حل پیچیده‌تر می‌شود. در این روش معادلات حرکت بدون هیچ‌گونه تقریبی و براساس روش‌های کاملاً ریاضی و دقیق به شکل قابل حل تبدیل می‌شوند. به علاوه روش حل در نظر گرفته شده در این تحقیق، نسبت به سیاری از روش‌های حل موجود، کلیت و جامعیت بیشتری دارد و شرایط مرزی بیشتری را شامل می‌شود.

۲. مروری بر نظریه‌ی کشسانی غیرمحالی

چنان که پیش‌تر اشاره شد نظریه‌ی غیرمحالی ارینگن، تنش در یک نقطه از سازه را تابعی از کرنش تمام نقاط کل سازه در نظر می‌گیرد. براساس این نظریه، تنش غیرمحالی با استفاده از رابطه‌ی انتگرالی ۱ به صورت تابعی از تنش محلی (کلاسیک) بیان می‌شود:

$$t_{ij} = \int_v \alpha(|x' - x|) \sigma_{ij}(x') dV' \quad (1)$$

این انتگرال روی کل حجم سازه (V) محاسبه می‌شود و در آن x نقطه‌ی است که تنش در آن با توجه به تنش در تمام نقاط x' در سازه محاسبه می‌شود. $t_{ij} = \int_v \alpha(|x' - x|) \sigma_{ij}(x') dV'$ تابع کریل غیرمحالی است که به اندازه‌های درونی ساختار بستگی دارد؛ σ_{ij} تنش محلی و t_{ij} تنش غیرمحالی است. از آنجا که حل معادله‌ی دیفرانسیلی ساده‌تر از معادله‌ی انتگرالی است، ارینگن تابع کریل غیرمحالی را به صورت تابع گرینی^۶ از عملگر دیفرانسیلی \mathcal{L} فرض کرد که:^[۵]

$$\mathcal{L} \alpha(|x' - x|) = \delta(|x' - x|) \quad (2)$$

که با جایگذاری رابطه‌ی ۲ در رابطه‌ی ۱ داریم:

$$\mathcal{L} t_{ij} = \sigma_{ij} \quad (3)$$

در نهایت برای نمونه‌ی دو بعدی داریم:

$$\mathcal{L} = 1 - (e \cdot l)^2 \nabla^2 = 1 - \mu \nabla^2 \quad (4)$$

که در آن e اندازه‌های درونی و مقیاس کوچک، l ثابت مواد که با استفاده از آزمایش‌های تجربی به دست می‌آید و $\mu = \frac{\partial^2}{\partial x^2} + \frac{\partial^2}{\partial y^2} = \nabla^2$ عملگر لابلسی در

بر حسب این توابع پتانسیل به دست می آید و از این طریق حل دقیق معادلات حرکت ممکن می شود. با استفاده از روابط ۱۰، ۱۷ و ۱۸، تابع f عبارت خواهد بود از:

$$f = b_1 W_1 + b_2 W_2 \quad (19)$$

که در آن:

$$b_i = \frac{[\varepsilon k^r (1 - \nu) - nl^r] \alpha_i^r - \beta^r \delta^r}{\varepsilon k^r (1 - \nu)}, \quad i = 1, 2$$

حال با جایگذاری روابط ۱۷ و ۱۹ در معادله ۱۱ و ۱۲ و حل معادلات به دست آمده، با استفاده از معادله ۱۰ و پس از مرتب کردن خواهیم داشت:

$$\begin{aligned} \tilde{\varphi}_x &= C_1 W_{1,X} + C_2 W_{2,X} + W_{2,Y} \\ \tilde{\varphi}_y &= C_1 W_{1,Y} + C_2 W_{2,Y} - W_{2,X} \end{aligned} \quad (20)$$

که:

$$C_i = \frac{d_i}{\alpha_i^r \left[\frac{nl^r}{12} - \left(\frac{1-\nu}{r} \right) \right] + \frac{\beta^r \delta^r}{12} - \frac{\varepsilon k^r (1-\nu)}{\delta^r}}, \quad i = 1, 2$$

$$d_i = \frac{\varepsilon k^r (1-\nu)}{\delta^r} - \frac{1+\nu}{2} b_i, \quad i = 1, 2$$

تابع پتانسیل دیگری است که از حل جواب عمومی معادلات دیفرانسیل حاکم بر چرخش‌های $\tilde{\varphi}_x$ و $\tilde{\varphi}_y$ به دست آمده و در رابطه ۲۱ صدق می‌کند:

$$\tilde{\nabla}^r W_2 + \alpha_r^r W_2 = 0.$$

$$\alpha_r^r = \left[\frac{\beta^r \delta^r}{12} - \frac{\varepsilon k^r (1-\nu)}{\delta^r} \right] / \left[\left(\frac{1-\nu}{2} \right) - \frac{nl^r}{12} \right] \quad (21)$$

برای حل معادلات ۱۸ و ۲۱ از روش جداسازی استفاده می‌شود. با در نظر گرفتن $W_i(X, Y) = f_i(X)g_i(Y)$ و پس از جداسازی خواهیم داشت: $g_i'' \pm \lambda_i g_i = 0$. یک آزمایش ساده در شرایط مرزی (از نوع شرایط مرزی در ادامه بیان می‌شوند)، وقتی که دو لبهٔ تکیه‌گاه در $X = 0$ و $X = 1$ ساده باشند نشان می‌دهد که فقط جواب $f_i'' = -\gamma_i^r f_i$ برای این شرایط مناسب خواهد بود. بنابراین شکل جواب این تابع به صورت $f_i(X) = A_i \sin(\gamma_i X) + B_i \cos(\gamma_i X)$ است و نهایتاً پس از اعمال این شرط مرزی در لبه‌های $X = 0$ و $X = 1$ این تابع به a_1 و a_2 نوابت اختیاری اند. برای شرط $f_2(X) = A_2 \sin(\gamma_2 X)$ مربوط به تابع پتانسیل W_2 است. شکل جواب برای $g_i(Y)$ عبارت است از:

$$\begin{cases} g_i(Y) = A_i^* \sin(\lambda_i Y) + B_i^* \cos(\lambda_i Y), & \alpha_i^r = \gamma_i^r + \lambda_i^r \\ g_i(Y) = \bar{A}_i \sinh(\lambda_i Y) + \bar{B}_i \cosh(\lambda_i Y), & \alpha_i^r = \gamma_i^r - \lambda_i^r \end{cases} \quad (22)$$

که در این رابطه A_i , B_i , A_i^* , B_i^* , \bar{A}_i و \bar{B}_i ثوابت اختیاری‌اند. این که از کدام شکل تابع $g_i(Y)$ استفاده شود (مثلثاتی یا هایپربولیکی) بستگی به شرط آن دارد. ثابت α_i^r به پارامتر بی بعد فرکانسی β وابسته است و در اراضی شرط مورد نظر نقشی تعیین‌کننده دارد. پس از حل معادلات باید شرایط مرزی اعمال شود تا

با جایگذاری متغیرهای بی بعد ۸ در روابط ۵ تا ۷ و با استفاده از رابطه ۹ -- پس از انجام ساده‌سازی -- معادلات حرکت ناگورق بی بعد می‌شوند:

$$\begin{aligned} & \left[6k^r (1 - \nu) - nl^r \right] \tilde{\nabla}^r \tilde{w} + \beta^r \delta^r \tilde{w} + \\ & \quad 6k^r (1 - \nu) (\tilde{\varphi}_{x,X} + \tilde{\varphi}_{y,Y}) = 0 \end{aligned} \quad (10)$$

$$\begin{aligned} & \left[\left(\frac{1-\nu}{2} \right) - \frac{nl^r}{12} \right] \tilde{\nabla}^r \tilde{\varphi}_x + \left[\frac{\beta^r \delta^r}{12} - \frac{6k^r (1-\nu)}{\delta^r} \right] \tilde{\varphi}_x \\ & \quad + \frac{1+\nu}{2} (\tilde{\varphi}_{x,X} + \tilde{\varphi}_{y,Y})_X - \frac{6k^r (1-\nu)}{\delta^r} \tilde{w}_X = 0 \end{aligned} \quad (11)$$

$$\begin{aligned} & \left[\left(\frac{1-\nu}{2} \right) - \frac{nl^r}{12} \right] \tilde{\nabla}^r \tilde{\varphi}_y + \left[\frac{\beta^r \delta^r}{12} - \frac{6k^r (1-\nu)}{\delta^r} \right] \tilde{\varphi}_y \\ & \quad + \frac{1+\nu}{2} (\tilde{\varphi}_{x,X} + \tilde{\varphi}_{y,Y})_Y - \frac{6k^r (1-\nu)}{\delta^r} \tilde{w}_Y = 0 \end{aligned} \quad (12)$$

$nl^r = \zeta^r \beta^r \delta^r$ نشان‌دهندهٔ عبارت غیر محلی است. بهمنظور جداسازی این معادلات از تابع کمکی $f = \tilde{\varphi}_{x,X} + \tilde{\varphi}_{y,Y}$ استفاده می‌شود. سپس از معادله ۱۱ نسبت به X و از معادله ۱۲ نسبت به Y مشتق‌گیری می‌شود. از مجموع معادلات به دست آمده معادلهٔ جدیدی بر حسب تابع کمکی به دست می‌آید. با جایگذاری تابع کمکی به دست آمده در رابطه ۱۰، معادلهٔ ۱۳ به دست می‌آید که فقط بر حسب متغیر جابه‌جایی \tilde{w} است:

$$a_1 \tilde{\nabla}^r \tilde{w} + a_2 \tilde{\nabla}^r \tilde{w} + a_3 \tilde{w} = 0. \quad (13)$$

ثابت‌های a_i عبارت‌اند از:

$$a_1 = - \left(1 - \frac{nl^r}{12} \right) + \frac{\left(1 - \frac{nl^r}{12} \right) nl^r}{6k^r (1-\nu)} \quad (14)$$

$$a_2 = - \frac{(-6 + nl^r) \beta^r \delta^r + 2k^r (12nl^r + \beta^r \delta^r) (-1 + \nu)}{36k^r \delta^r (-1 + \nu)} \quad (15)$$

$$a_3 = \frac{\beta^r \delta^r \left(\frac{\beta^r \delta^r}{12} - \frac{6k^r (1-\nu)}{\delta^r} \right)}{6k^r (-1 + \nu)} \quad (16)$$

جواب معادلهٔ ۱۳ را می‌توان چنین در نظر گرفت:

$$\tilde{w} = W_1 + W_2 \quad (17)$$

دو تابع (X, Y) و $W_1(X, Y)$ را اصطلاحاً تابع پتانسیل می‌نامند زیرا شکل جواب آن‌ها مشخص است و در رابطهٔ ۱۸ صدق می‌کند:

$$\tilde{\nabla}^r W_1 + \alpha_1^r W_1 = 0, \quad \tilde{\nabla}^r W_2 + \alpha_2^r W_2 = 0. \quad (18)$$

که در آن:

$$\alpha_1^r = \frac{a_1 - \sqrt{(a_1^r - 4a_1 a_2)}}{2a_1}, \quad \alpha_2^r = \frac{a_2 + \sqrt{(a_2^r - 4a_1 a_2)}}{2a_1}$$

تا اینجا، متغیر \tilde{w} بر حسب یک سری توابع پتانسیلی تعریف شده که شکل جواب‌شان مشخص و قابل دست‌یابی است. در گام بعدی محاسبهٔ تابع کمکی f بر حسب توابع پتانسیل W_1 و W_2 ضرورت می‌یابد زیرا بدین ترتیب، متغیرهای $\tilde{\varphi}_x$ و $\tilde{\varphi}_y$ نیز

ζ	مرجع	(n,m)
$a/b = 1$		
$0,3512$	$0,4904$	$0,7477$
$0,3512$	$0,4904$	$0,7475$
$0,3512$	$0,4904$	$0,7475$
$0,2309$	$0,2353$	$0,5801$
$0,2308$	$0,2353$	$0,5799$
$0,2308$	$0,2353$	$0,5799$
$0,1844$	$0,2708$	$0,4906$
$0,1844$	$0,2708$	$0,4904$
$0,1843$	$0,2708$	$0,4904$
$0,1456$	$0,2155$	$0,4040$
$0,1456$	$0,2155$	$0,4038$
$0,1456$	$0,2155$	$0,4038$
$0,1241$	$0,1844$	$0,3514$
$0,1241$	$0,1844$	$0,3512$
$0,1241$	$0,1844$	$0,3512$
$0,4287$	$0,5799$	$0,8183$
$0,4287$	$0,5798$	$0,8183$
$0,3512$	$0,4904$	$0,7475$
$0,3512$	$0,4904$	$0,7475$
$0,2492$	$0,3601$	$0,6111$
$0,2492$	$0,3601$	$0,6111$
$0,2309$	$0,2353$	$0,5799$
$0,2309$	$0,2353$	$0,5799$
$0,1655$	$0,2440$	$0,4496$
$0,1655$	$0,2440$	$0,4496$
$0,1562$	$0,2309$	$0,4287$
$0,1562$	$0,2309$	$0,4287$

۱.۵ مقایسه نتایج

در جدول ۱ اولین نتایج مقایسه‌ی ارائه شده است. در این جدول نسبت فرکانسی نانورق با شرایط مرزی چهار لبه‌ی ساده با دو مطالعه‌ی منتشر شده مقایسه شده است. در مطالعه‌ی اول^[۶] ارتعاشات نانورق براساس نظریه‌ی مرتبه‌ی سوم ردی در فضای غیر محلی بررسی شده است در حالی که در مطالعه‌ی دوم^[۷] این مسئله براساس دو نظریه‌ی میندلین و کلاسیک با استفاده از روش تاواری مورد

پاسخ فرکانسی به دست آید. شرایط مرزی طبیعی و هندسی برای تکیه‌گاه ساده، گیردار و آزاد در نظریه‌ی میندلین در لبه‌های $Y = 0$ و $Y = \eta$ چنین بیان می‌شود:

$$\bullet \text{ تکیه‌گاه ساده: } Y = 0, \tilde{w} = \tilde{\varphi}_x = 0$$

$$\bullet \text{ تکیه‌گاه گیردار: } Y = 0, \tilde{w} = \tilde{\varphi}_x = \tilde{\varphi}_y = 0$$

$$\bullet \text{ تکیه‌گاه آزاد: } Y = 0, \tilde{M}_{yy}^L = \tilde{M}_{xy}^L = \tilde{N}_{xz} = 0$$

برای شرایط مرزی روی لبه‌های $X = 0$ کافی است اندیس‌های x, y, z را به x, y , y را به x تغییر دهیم. در این روابط $\tilde{M}_{yy}^L, \tilde{M}_{xy}^L, \tilde{N}_{xz}$ ممان‌ها و نیروی برآیند بی‌بعدی هستند که توسط متغیرهای جابه‌جاشی بی‌بعد تعریف می‌شوند:

$$\begin{aligned} \tilde{M}_{yy}^L &= \tilde{\varphi}_{y,Y} + \nu \tilde{\varphi}_{x,X} \\ \tilde{N}_{xz}^L &= \tilde{\varphi}_x + \tilde{w}, X \\ \tilde{M}_{xy}^L &= \tilde{\varphi}_{x,Y} + \nu \tilde{\varphi}_{y,X} \end{aligned} \quad (23)$$

با اعمال این شرایط مرزی، برای هر شرط مرزی ۶ معادله به دست می‌آید که اگر به شکل ماتریسی بیان شوند به صورت معادله‌ی ۲۴ در می‌آیند:

$$[coefficients] \{A_1 \ B_1 \ A_2 \ B_2 \ A_3 \ B_3\}^T = [0] \quad (24)$$

ماتریس ضربی یک ماتریس مربعی 6×6 و تابعی از پارامترهای مختلف ورق، پارامتر غیر محلی، فرکانس طبیعی و نیم طول موج (m) است. شرط وجود جواب غیربدیهی رابطه‌ی ۲۴ این است که دترمینان ماتریس ضربی را صفر باشد. این دترمینان در واقع معادله‌ی مشخصه‌ی هر شرط مرزی را تعیین می‌کند. برای به دست آوردن فرکانس‌های طبیعی ارتعاشات آزاد یا حل معادله‌ی مشخصه‌ی بازای هر m، تعداد n فرکانس طبیعی مسئله حاصل می‌شود.

۵. نتایج و تفسیر آنها

به منظور تأیید روش حل حاضر، ابتدا نتایج کنونی و نتایج موجود در مقالات معتبر مقایسه می‌شوند. پس از تأیید صحت روش، نتایج کامل‌تری در این زمینه به صورت جدول و نمودار منتشر می‌شود. در حل مسائل ارتعاشاتی نانورق بیشترین تیجه‌های مد نظر مقایسه‌ی فرکانس طبیعی در حالت محلی و غیر محلی است. زیرا می‌خواهیم به این مسئله پی ببریم که رفتار ورق در مقیاس بسیار کوچک (نانو)، تا چه حد از کاربرد نظریه‌ی صحیح در این زمینه تأثیر می‌پذیرد. بنابراین نسبتی به نام نسبت فرکانسی تعريف می‌شود که این قیاس را انجام می‌دهد و م盼ور از آن، نسبت میان فرکانس طبیعی اندازه‌گیری شده توسط نظریه‌ی غیر محلی به فرکانس طبیعی اندازه‌گیری شده در نظریه‌ی محلی (کشناسی کلاسیک) است؛ یعنی: $\beta^L = \beta^{NL}/\beta^L$. در تمامی نتایج، ضربی پواسون $3, n = \nu$ در نظر گرفته شده، و (n,m) نشان‌دهنده‌ی مود فرکانسی است. یادآور می‌شود شرط مرزی در راستای $X = 0$ و $Y = 0$ ساده (S)، و در راستای $\eta = Y$ و $0 = Y$ ترکیبی از شرایط مرزی ساده، گیردار (C) و آزاد (F) در نظر گرفته شده است. بنابراین شرط مرزی که با عنوان SCSF نشان داده می‌شود بدان معناست که تکیه‌گاه در راستای $X = 0$ و $Y = 0$ آزاد است، در راستای $0 = Y$ گیردار و در راستای $\eta = Y$ آزاد است. این ترتیب برای تمامی شش شرط مرزی همین‌گونه بیان می‌شود.

بررسی قرار گرفته است. این نتایج برای نسبت ابعادی ($a/b = 17$)، پارامتر غیر محلی (ζ) و مودهای مختلف فرکانسی گزارش شده است. چنان که مشاهده می شود نتایج حاضر همخوانی قابل قبولی به ویژه با نظریه ای مرتبه بالای برشی ردی دارد.

در دومین مقایسه ای نسبت فرکانسی با مقابله ای منتشر شده،^[8] ارتعاشات و کمانش نانورق در فضای غیر محلی کشسانی و براساس نظریه کلاسیک ورق ها مد نظر قرار گرفته است. در این نوشتار برای شرط مرزی ساده در تمام لبه ها (SSSS) روش حل ناویر و برای شرط مرزی SCSC روش حل لوی اتخاذ شده است. در شکل ۱، این مقایسه ها با نظریه میدلین در نظر گرفته شده در تحقیق حاضر نشان داده شده است. در شکل ۱۱ الف تغییرات نسبت فرکانسی برای شرط مرزی SSSS و در شکل ۱ ب این تغییرات برای شرط مرزی SCSC برحسب طول جانبی ورق در راستای X رسم شده است. چنان که مشاهده می شود نتایج تحقیق کنونی همخوانی بسیار خوبی با این مرجع دارد.

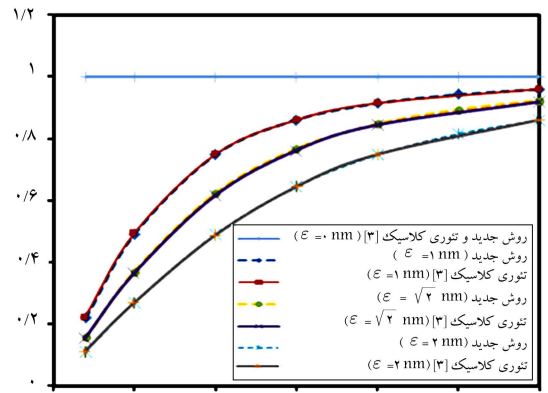
۲.۵. نتایج تکمیلی

نتایجی که در این بخش ارائه می شود به منظور پوشش خلاههای موجود در شکل ۲ نتایج پیشین و گزارش نتایج جدید است. در نتایج تغییرات نسبت فرکانسی برحسب تغییرات نسبت ضخامت به طول (δ) به ازای چند پارامتر بی بعد غیر محلی و برای سه شرط مرزی مختلف که به دلخواه انتخاب شده اند، نشان داده شده است. نتیجه هی جالب توجهی که در این شکل مشاهده می شود این است که نسبت فرکانسی با تغییرات ضخامت تغیری نمی کند. از آنجا که شرایط مرزی، نسبت ابعادی و مود فرکانسی به دلخواه انتخاب شده است می توان نتیجه گرفت که این موضوع برای تمام شرایط مرزی، نسبت های ابعادی و مودهای مختلف فرکانسی و به ازای هر مقدار ضریب غیر محلی صحت دارد.

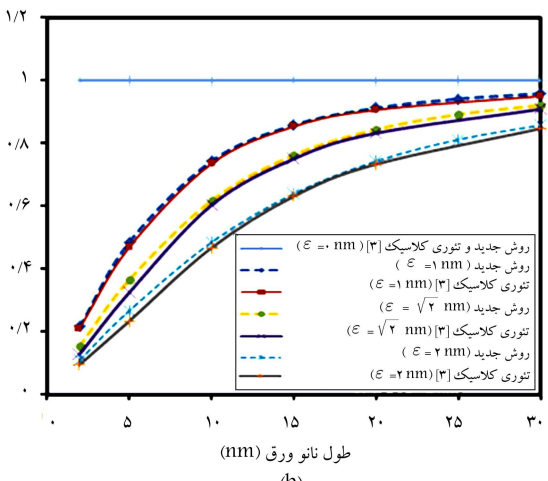
در جدول ۲ نتایج تغییرات نسبت فرکانسی برحسب نسبت ابعادی و پارامتر غیر محلی مختلف و شش شرط ممکن لوی ارائه شده است. اولین نکته ای باز در این جدول کاهش شدید نسبت فرکانسی برای افزایش ضریب غیر محلی است؛ میزان این کاهش در مواردی که نسبت ابعادی کمتر است، بیشتر می شود. نکته دیگری که ممکن است با آن مواجه شویم این است که با اعمال شرط مرزی آزاد در یکی از لبه های نانورق، اثر ضریب محلی نسبت به عدم وجود شرط مرزی آزاد کمتر شده و فرکانس غیر محلی به نسبت کمتر از اثر مقیاس کوچک متأثر می شود.

۶. نتیجه گیری

در نوشتار حاضر با استفاده از یک حل دقیق تحلیلی، ارتعاشات آزاد نانورق مستطیلی میدلین در فضای کشسانی غیر محلی بررسی شده است. سه معاله ای حرکت مزدوج، توسط تعریف توابع پتانسیل جدید و با استفاده از روش جداسازی متغیرها حل شده اند. مقایسه ای نتایج به دست آمده براساس روش جدید با آنچه که در مراجع دیگر گزارش شده نشان دهنده دقت بالای روش جدید با آنچه که در مراجع این، نشان داده شده که نسبت فرکانس طبیعی مستقل از نسبت ضخامت به طول نانورق است، و با افزایش شماره مود و مقدار پارامتر غیر محلی به ازای تمامی شرایط مرزی کاهش می یابد. همچنین، نتایج حاصله حاکی از آن است که نظریه کشسانی غیر محلی، بر نانورق با شرایط مرزی آزاد کمترین ثانیه و بر نانورق با شرایط مرزی گیردار بیشترین ثانیه را دارد.

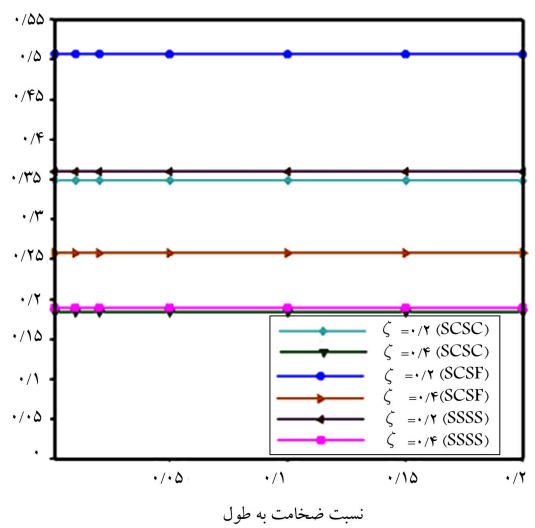


(a)



(b)

شکل ۱. مقایسه ای تغییرات نسبت فرکانسی با طول جانبی نانورق به ازای مقادیر مختلف ضریب غیر محلی.



شکل ۲. تغییرات نسبت فرکانسی با نسبت ضخامت به طول ((n,m=1,2)) و گیردار بیشترین ثانیه را دارد.

جدول ۲. تغییرات فرکانسی با پارامتر بی بعد و نسبت فرکانسی با شرایط مرزی و نسبت ابعادی مختلف (۱۱ و ۱۰) (m,n) و (۱,۱) (m,n) و (۰,۰) (m,n).

٪۸	٪۶	٪۴	٪۲	٪۰	٪۱۰	٪
نسبت فرکانسی	شرایط مرزی					
$\eta = ٪۶$						
٪۴۳۵۴	٪۵۳۵۱	٪۶۸۲۰	٪۸۷۷۹	٪۰۰۰۰۰	٪۱۷،۵۱۹۶	SCSF
٪۴۲۲۱	٪۵۱۶۶	٪۶۷۱۲	٪۸۷۵۹	٪۰۰۰۰۰	٪۹،۳۵۶۱	SFSF
٪۳۷۶۲	٪۴۷۶۹	٪۶۳۲۸	٪۸۵۴۷	٪۰۰۰۰۰	٪۱۳،۹۳۲۰	SFSS
٪۲۰۰۵	٪۲۶۳۳	٪۳۷۸۹	٪۶۳۳۵	٪۰۰۰۰۰	٪۳۵،۰۶۴۳	SSSS
٪۱۹۱۰	٪۲۵۱۳	٪۳۶۳۱	٪۶۱۰۹	٪۰۰۰۰۰	٪۴۵،۰۹۲۲	SCSS
٪۱۸۶۷	٪۲۴۵۸	٪۳۵۶۰	٪۶۰۸۰	٪۰۰۰۰۰	٪۵۶،۸۹۶۷	SCSC
$\eta = ٪۸$						
٪۳۹۸۸	٪۵۰۱۴	٪۶۵۰۹	٪۸۶۶۷	٪۰۰۰۰۰	٪۱۳،۸۹۹۶	SCSF
٪۴۰۴۸	٪۵۰۸۵	٪۶۶۳۵	٪۸۷۱۸	٪۰۰۰۰۰	٪۹،۴۰۴۷	SFSF
٪۳۷۴۶	٪۴۷۷۱	٪۶۳۳۰	٪۸۵۴۸	٪۰۰۰۰۰	٪۱۲،۲۵۴۹	SFSS
٪۲۴۱۲	٪۳۱۴۶	٪۴۴۵۱	٪۷۰۵۰	٪۰۰۰۰۰	٪۲۴،۲۲۳۰	SSSS
٪۲۳۱۹	٪۳۰۳۰	٪۴۳۰۸	٪۸۹۱۴	٪۰۰۰۰۰	٪۲۹،۸۰۸۶	SCSS
٪۲۲۷۳	٪۲۹۷۳	٪۴۲۳۷	٪۶۸۴۶	٪۰۰۰۰۰	٪۳۶،۷۵۹۲	SCSC
$\eta = ٪۱۰$						
٪۳۸۸۶	٪۴۹۰۴	٪۶۴۵۸	٪۸۶۱۶	٪۰۰۰۰۰	٪۱۲،۲۶۰۶	SCSF
٪۳۹۸۸	٪۵۰۱۹	٪۶۵۷۸	٪۸۶۸۳	٪۰۰۰۰۰	٪۹،۴۴۵۸	SFSF
٪۳۷۶۵	٪۴۷۷۲	٪۶۳۳۱	٪۸۵۴۸	٪۰۰۰۰۰	٪۱۱،۳۸۱۰	SFSS
٪۲۷۰۸	٪۳۵۱۲	٪۴۹۰۴	٪۷۴۷۵	٪۰۰۰۰۰	٪۱۹۰،۸۴۰	SSSS
٪۲۶۲۶	٪۳۴۱۲	٪۴۷۸۵	٪۷۳۷۴	٪۰۰۰۰۰	٪۲۲،۴۲۶۰	SCSS
٪۲۵۸۳	٪۳۳۵۹	٪۴۷۲۱	٪۷۳۱۹	٪۰۰۰۰۰	٪۲۶،۷۳۶۹	SCSC

پیانو شت ها

1. Graphene and Graphite sheets
 2. super resonators
 3. super manometers
 4. Gibson
 5. Differential Quadrature Method
 6. Green function
 7. dispersion curves
 8. lattice dynamics

منابع (References)

- پانوشت‌ها

 - 1. Graphene and Graghite sheets
 - 2. super resonators
 - 3. super manometers
 - 4. Gibson
 - 5. Differential Quadrature Method
 - 6. Green function
 - 7. dispersion curves
 - 8. lattice dynamics

منابع (References)

 - 1. Tighe, T., Worlock, J. and Roukes, M. "Direct thermal conductance measurements on suspended monocrystalline nanostructures", *Applied physics letters*, **70**, pp. 2687-2689 (1997).
 - 2. Evoy, S., Carr, D., Sekaric, L., Olkhovets, A., Parpia, J. and Craighead, H. "Nanofabrication and electrostatic operation of single-crystal silicon paddle oscillators", *Journal of Applied physics*, **86**, pp. 6072-6077 (1999).
 - 3. Bunch, J.S., Van der Zande, A.M., Verbridge, S.S., Frank, I.W., Tanenbaum, D.M., Parpia, J.M., Craighead, H.G. and McEuen, P.L. "Electromechanical resonators from graphene sheets", *Science*, **315**, pp. 490-493 (2007).
 - 4. Freund, L.B. and Suresh, S., *Thin Film Materials: Stress, Defect Formation and Surface Evolution*, Cambridge University Press (2004).
 - 5. Eringen, A.C. *Nonlocal Continuum Field Theories*, Springer Verlag (2002).
 - 6. Aghababaei, R. and Reddy, J. "Nonlocal third-order shear deformation plate theory with application to bending and vibration of plates", *Journal of Sound and Vibration*, **326**, pp. 277-289 (2009).
 - 7. Lu, P., Zhang, P., Lee, H., Wang, C. and Reddy, J. "Non-local elastic plate theories", *Proceedings of the Royal Society A: Mathematical, Physical and Engineering Science*, **463** pp. 3225-3240 (2007).
 - 8. Aksencer, T. and Aydogdu, M. "Levy type solution method for vibration and buckling of nanoplates using nonlocal elasticity theory", *Physica E: Low-dimensional Systems and Nanostructures*, **43** pp. 954-959 (2011).
 - 9. Ansari, R., Sahmani, S. and Rouhi, H. "Rayleigh-ritz axial buckling analysis of single-walled carbon nanotubes with different boundary conditions", *Physics Letters A*, **375** pp. 1255-1263 (2011).
 - 10. Pradhan, S. and Kumar, A. "Vibration analysis of orthotropic graphene sheets using nonlocal elasticity theory and differential quadrature method", *Composite Structures*, **93**, pp. 774-779 (2011).
 - 11. Ansari, R., Rajabiehfard, R. and Arash, B. "Nonlocal finite element model for vibrations of embedded multi-

- layered graphene sheets”, *Computational Materials Science*, **49** pp. 831-838 (2010).
12. Ansari, R., Gholami, R., Hosseini, K. and Sahmani, S. “A sixth-order compact finite difference method for vibrational analysis of nanobeams embedded in an elastic medium based on nonlocal beam theory”, *Mathematical and Computer Modelling*, **54**, pp. 2577-2586 (2011).
 13. Hosseini-Hashemi, S., Bedroud, M. and Nazemnezhad, R. “An exact analytical solution for free vibration of functionally graded circular/annular Mindlin nanoplates via nonlocal elasticity”, *Composite Structures* (2013).
 14. Hosseini-Hashemi, S., Fadaee, M. and Atashipour, S. “A new exact analytical approach for free vibration of Reissner-Mindlin functionally graded rectangular plates”, *International Journal of Mechanical Sciences*, **53**, pp. 11-22 (2011).
 15. Hosseini-Hashemi, S., Fadaee, M. and Rokni Damavandi Taher, H. “Exact solutions for free flexural vibration of L/evy-type rectangular thick plates via third-order shear deformation plate theory”, *Applied Mathematical Modelling*, **35**, pp. 708-727 (2011).
 16. Ansari, R., Rouhi, H. and Sahmani, S. “Calibration of the analytical nonlocal shell model for vibrations of double-walled carbon nanotubes with arbitrary boundary conditions using molecular dynamics”, *International Journal of Mechanical Sciences*, **53** pp. 786-792 (2011).
 17. Ansari, R. and Sahmani, S. “Small scale effect on vibrational response of single-walled carbon nanotubes with different boundary conditions based on nonlocal beam models”, *Communications in Nonlinear Science and Numerical Simulation*, **17**, pp. 1965-1979 (2012).
 18. Ansari, R., Sahmani, S. and Arash, B. “Nonlocal plate model for free vibrations of single-layered graphene sheets”, *Physics Letters A*, **375**, pp. 53-62 (2010).
 19. Duan, W., Wang, C. and Zhang, Y. “Calibration of non-local scaling effect parameter for free vibration of carbon nanotubes by molecular dynamics”, *Journal of Applied physics*, **101**, pp. 024305-024307 (2007).
 20. Eringen, A.C. “Nonlocal polar elastic continua”, *International Journal of Engineering Science*, **10** pp. 1-16 (1972).
 21. Eringen, A.C. “On differential equations of nonlocal elasticity and solutions of screw dislocation and surface waves”, *Journal of Applied physics*, **54** pp. 4703-4710 (1983).
 22. Jomehzadeh, E. and Saidi, A. “A levy type solution for free vibration analysis of a nano-plate considering the small scale effect”, *Recent Advances in Vibration Analysis*, DOI: 10.5772/24828.

